

دراسة توزيع الشدة لصورة جسم بيضاوي الشكل (دالة انتشار الجسم البيضاوي)

علاء بدر حسن

قسم الفيزياء ، كلية التربية - ابن الهيثم ، جامعة بغداد

الخلاصة

في هذا البحث، صيغت معادلة جديدة لدالة توزيع الشدة في مستوى الصورة لجسم بيضاوي الشكل (دالة انتشار الشكل البيضاوي) باستخدام نظام بصري ذي فتحة دائرة الشكل. تم استخدام طريقة (كاوس) للتكامل العددي (1) في حساب تكامل المعادلة الخاصة. اعتمدت المنحنيات البينية لتوزيع شدة الصورة لنظام بصري مثالي (خالي من الزبغ) ولنظام يحتوي على الخطأ البؤري، وكذلك توزيع الشدة في المستوى البؤري (العمق البؤري) (2).

النظرية

لمعرفة كفاية أي نظام بصري بتبعي تقييم جودة الصورة الناتجة منه، وفي حالة دراسة الصورة الناتجة تكون من الضروري اختيار الجسم المناسب. في هذا البحث اختبرت الجسم البيضاوي لتبسيع هكذا أجسام في التطبيقات الفلكية (الجرارات البيضاوية) والمجهرية (بعض أنواع الأحياء المجهرية والخلايا). إن دراسة توزيع شدة الصورة للجسم البيضاوي (دالة انتشار الجسم البيضاوي) بوصفه جسماً ممتدًا (غير نفطي) يعطيها تبعي جيداً لكتابه النظائر البصري في حالة وجود الخطأ البؤري والزبغ بكل أنواعه.

تم في هذا البحث اشتقاق صيغة خاصة للجسم البيضاوي لوصف توزيع شدة الصورة في مستوى الصورة لنظام بصري ذي فتحة دائرة الشكل (فتحة بؤبؤ الإخراج) بوصفه إن الفتحة الدائرية تعطي غالباً صورة جيدة وكذلك لها فردة تحليل عالية.

إن الجسم البيضاوي الذي له محاور أساسية معينة (A,B) هو جسم ذو بعدين يحتوي على مصادر نقطية غير محدودة ذي إضاءة غير متناسكة (3)، فأخذ التكامل ذي البعدين لدالة الانبعاث النقطية وضربيها بدالة شدة الجسم البيضاوي، تنتج معادلة توزيع الشدة لصورة الجسم البيضاوي (دالة انتشار الجسم البيضاوي) (4):

$$E(z', m') = \int_{-\infty}^{\infty} \int_{-\infty}^{\infty} E(z, m) \cdot G(z' - z, m' - m) dz dm \quad [1]$$

وأذ (z, m) هي الإحداثيات عديمة البعد في مستوى الجسم والصورة على التوالي، وتعطى بالعلاقات الآتية:

$$z = 2\pi u, \quad m = 2\pi v, \quad z' = 2\pi u', \quad m' = 2\pi v'$$

هي شدة إضاءة الجسم البيضاوي. $E(z, m)$

$G(z' - z, m' - m)$ هي دالة الانبعاث النقطية الناتجة من مصدر نقطي واحد في موقع (z, m) من مستوى الجسم، وتعطى بالعلاقة الآتية (5):

$$G(u', v') = |F(u', v')|^2 \quad [2]$$

وأذ $F(u', v')$ هي القيمة المحددة للشدة في مستوى الصورة، وتساوي:

$$F(u', v') = \int_y \int_x f(x, y) e^{2\pi i (u'x + v'y)} dx dy \quad [3]$$

وأذ $f(x, y)$ هي دالة البوء، (x, y) هي إحداثيات، وتساوي الدالة لفتحة الدائرية ذات نصف قطر $R=1$:

$$\begin{aligned} f(x, y) &= e^{ikw(x, y)} & \text{for } x^2 + y^2 \leq 1 \\ f(x, y) &= 0 & \text{for } x^2 + y^2 > 1 \end{aligned}$$

وأذ w هي دالة الزبغ الموجود في النظام البصري، $k=2\pi/\lambda$ هو الطول الموجي لضوء المصدر المستخدم. ينبع من المعادلة [3] في المعادلة [2] وإدخال الإحداثيات عديمة البعد، نحصل على:

$$G(z', m') = \int_y \int_{y_1} \int_x \int_{x_1} f(x, y) e^{i(z'x + m'y)} f^*(x_1, y_1) e^{-i(z'x_1 + m'y_1)} dx_1 dy_1 dx dy \quad [4]$$

أذ $f^*(x_1, y_1)$ هو المرافق المحدد لدالة البوء، (x_1, y_1) هي إحداثيات، وتساوي:

$$f^*(x_1, y_1) = e^{-ikw(x_1 + y_1)}$$

يمكن كتابة المعادلة [4] بالشكل:

$$G(z' - z, m' - m) = \int_y \int_{y_1} \int_x \int_{x_1} f(x, y) f^*(x_1, y_1) e^{i(z' - z)(x - x_1)} e^{i(m' - m)(y - y_1)} dx_1 dy_1 dx dy \quad [5]$$

نعرض المعادلة [5] في [1] في:

$$\int_{-\infty}^{\infty} \int_{-\infty}^{\infty} \int_x \int_{x_1} \int_y \int_{y_1} f(x, y) f^*(x_1, y_1) e^{i(z' - z)(x - x_1)} e^{i(m' - m)(y - y_1)} E(z, m) dx_1 dy_1 dz dm \quad [6]$$

شدة ضوء الجسم البيضاوي تساوي:

$$\begin{aligned} E(z, m) &= 1 & \text{for } \begin{cases} |z| & \text{or} \\ |z| & \text{or} \end{cases} \begin{cases} |m| \leq A \\ |m| \leq B \end{cases} \\ E(z, m) &= 0 & \text{for } \begin{cases} |z| & \text{or} \\ |z| & \text{or} \end{cases} \begin{cases} |m| > A \\ |m| > B \end{cases} \end{aligned}$$

أذ (A, B) هما المحاور الأساسية للجسم البيضاوي، لذا تصبح المعادلة [6]:

$$\int_y \int_{y_1} \int_x f(x, y) f^*(x_1, y_1) e^{iz'(x - x_1)} e^{im'(y - y_1)} dx_1 dy_1 dz \int_{-A}^A e^{-iz(x - x_1)} dz \int_{-B}^B e^{-im(y - y_1)} dm \quad [7]$$

التكاملين الآخرين في المعادلة أعلاه تساوي:

$$\int_{-A}^A e^{-iz(x - x_1)} dz = \frac{\sin[(x - x_1)A]}{(x - x_1)}$$

$$\int_{-B}^B e^{-im(y - y_1)} dm = \frac{\sin[(y - y_1)B]}{(y - y_1)}$$

بما إن توزيع الشدة على مستوى الصورة متوازن، فذلك ممكن أخذ إحداثي واحد (\hat{z}) بغيرض الدراسة بوصف الاحداثي الآخر (\hat{m}) بتساوي صفر. فتصبح المعادلة [7] بالشكل:

$$E(z') = N \int_{y} \int_{y_1} \int_{x} \int_{x_1} f(x, y) f(x_1, y_1) e^{iz'(x-x_1)} \frac{\sin[(x-x_1)A]}{(x-x_1)} \frac{\sin[(y-y_1)B]}{(y-y_1)} dx_1 dy_1 dy \quad [8]$$

اذ (N) هو عامل المعايرة الذي يجعل الشدة ساوي (1) عند (z=0)، أي (E(0)=1)، والعامل (N) تغير قيمته مع فيم (A, B).

بعويض في الدوال (f, f^*) في المعادلة [8]، ينتج:

$$E(z') = N \int_{y} \int_{y_1} \int_{x} \int_{x_1} e^{iz'(x-x_1)+ikw(x,y)-ikw(x_1,y_1)} \frac{\sin[(x-x_1)A]}{(x-x_1)} \frac{\sin[(y-y_1)B]}{(y-y_1)} dx_1 dy_1 dy$$

$$e^{iz'(x-x_1)+ikw(x,y)-ikw(x_1,y_1)} = \cos[z'(x-x_1)+kw(x,y)-kw(x_1,y_1)] + i \sin[z'(x-x_1)+kw(x,y)-kw(x_1,y_1)]$$

بما إن الشدة حقيقة، فالجزء الخيالي من المعادلة أعلاه يجب أن يساوي صفر.

وبعدأخذ حدود التكامل لفتحة البؤرة الدائرية، تصبح معادلة دالة انتشار الشكل البيضاوي بالصورة النهائية:

$$E(z') = \int_{-1}^1 \int_{-\sqrt{1-y^2}}^{\sqrt{1-y^2}} \int_{-\sqrt{1-y^2}}^{\sqrt{1-y^2}} \cos[k[w(x,y)-w(x_1,y_1)]+z'(x-x_1)] \frac{\sin[(x-x_1)A]}{(x-x_1)} \frac{\sin[(y-y_1)B]}{(y-y_1)} dx_1 dy_1 dy \quad [9]$$

الحسابات

تم تصميم برنامج حاسوبي بلغة (quick basic) لحساب المعادلة (9) لنظام ذي فتحة دائيرية ولجسم بيضاوي ذي إضاءة غير متساكنة، وحلت المعادلة بطريقة (كاوس) للتكامل العددي لحدود التكاملات الأربع بأحد عشرين نقطة لكل من الإحداثيات (x_1, y_1, x, y) ، للحصول على قيمة المعايرة دالة انتشار الجسم البيضاوي.

بعد الحصول على قيمة عامل المعايرة لكل قيمة من (A,B) يمكن الحصول على دالة انتشار الجسم البيضاوي لقيم مختلفة من الاحادي المختزل (\hat{z}) لنظام مثالي (1,2) (الشكل (1,2)).

أما عند وجود الخطأ البؤري للنظام البصري (الشكل (3,4)) فيحصل تغير في نمط توزيع الشدة في مستوى الصورة، وللحصول ذلك نؤخذ دالة الربح بنظر الاعتبار بالشكل:

$$w(x, y) = w_{20}(x^2 + y^2)$$

$$w(x_1, y_1) = w_{20}(x_1^2 + y_1^2)$$

اذ w_{20} هو عامل الخطأ البؤري، ولو توضيح مقدار العميق البؤري في مستوى المحور الأساسي للنظام البصري تكون قيمة $(\hat{z}=0)$ ، بينما نؤخذ الشدة المعايرة لقيم مختلفة من عامل الخطأ البؤري (w_{20}) (الشكل (5,6)).

المناقشة

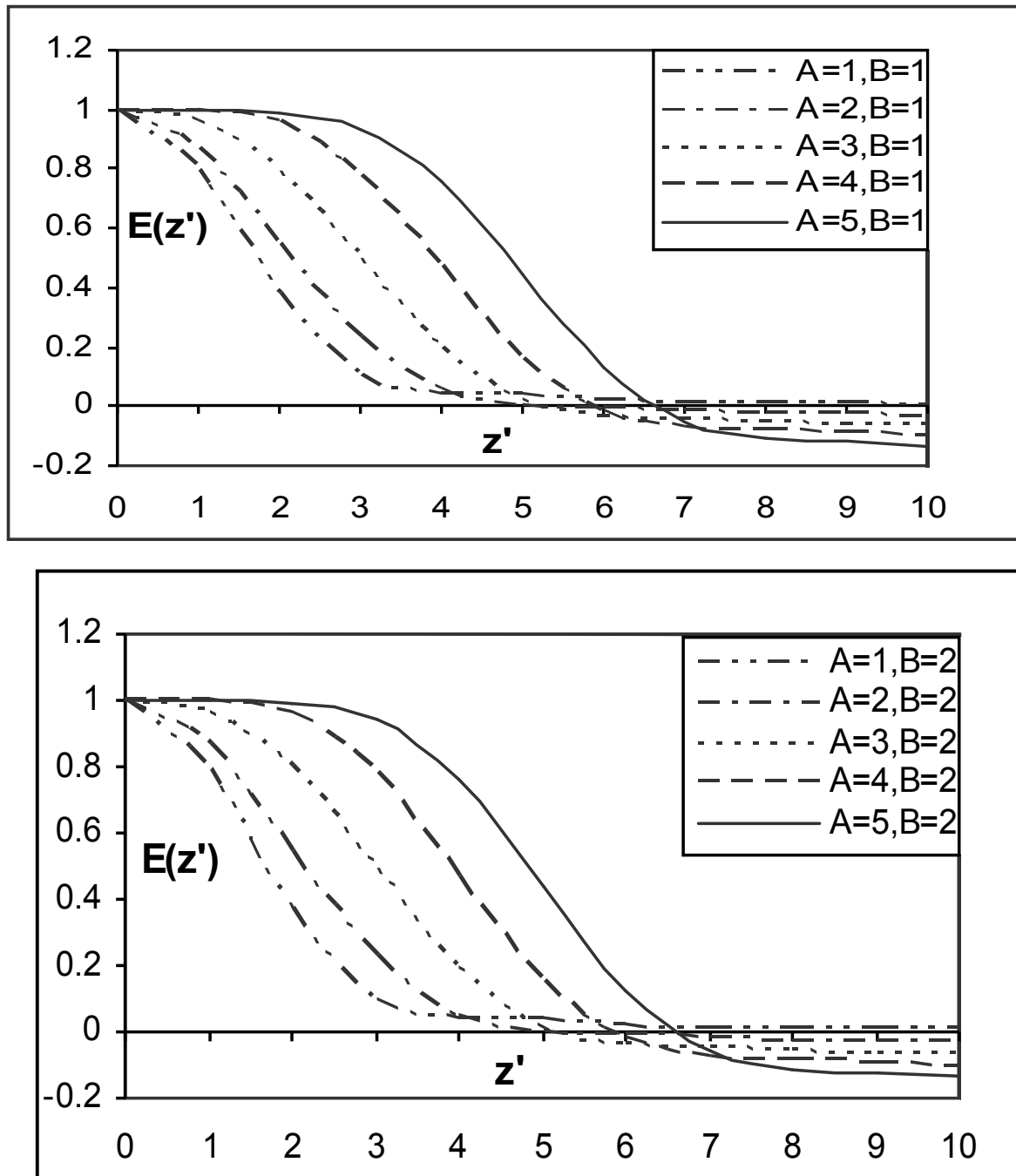
يوضح الشكلان (1,2) تغير نمط توزيع الشدة المعايرة مع تغير قيمة المحورين الأساسيين للجسم البيضاوي (A,B) (أي تغير تقطيع الجسم البيضاوي)، اذ تبقى قيمة الشدة المركزية متساوية للواحد بسبب عامل المعايرة، فنلاحظ زيادة شدة الصورة في المنطقة الفريبة من المركز كلما ازداد تقطيع الشكل البيضاوي، بينما تزداد حدة الصورة مع نقصان التقطيع وصولاً إلى شكل الفرس (A=B).

بوضوح الشكلان (4,3) توزيع الشدة المعبرة بوجود الخطأ البؤري ($w_{20} = 0.5\lambda$) لقيم مختلفة من (A,B)، إذ نلاحظ انحطاط الشدة بنقصان تلطخ الجسم البيضاوي، وكذلك تغير ميل المنحنيات بالنسبة الى مثيلاتها في الشكلين (2,1)، أي هناك تغير في توزيع الشدة مع وجود الخطأ البؤري.

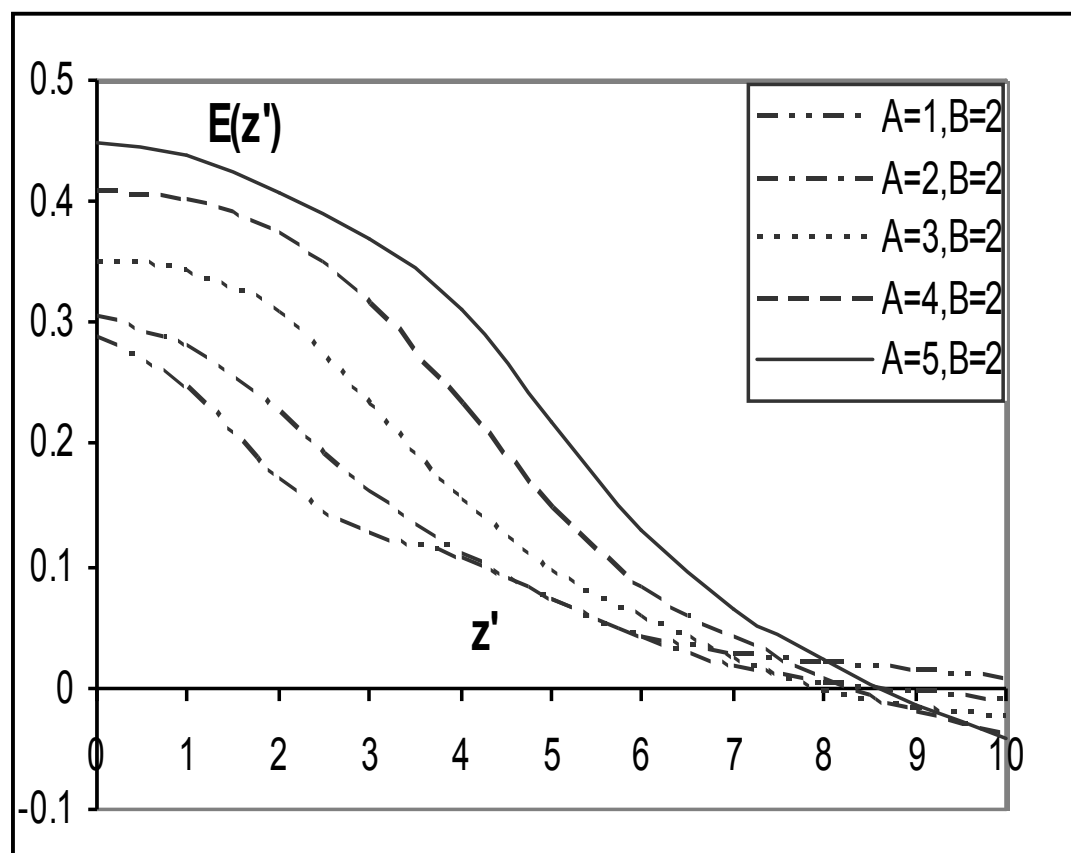
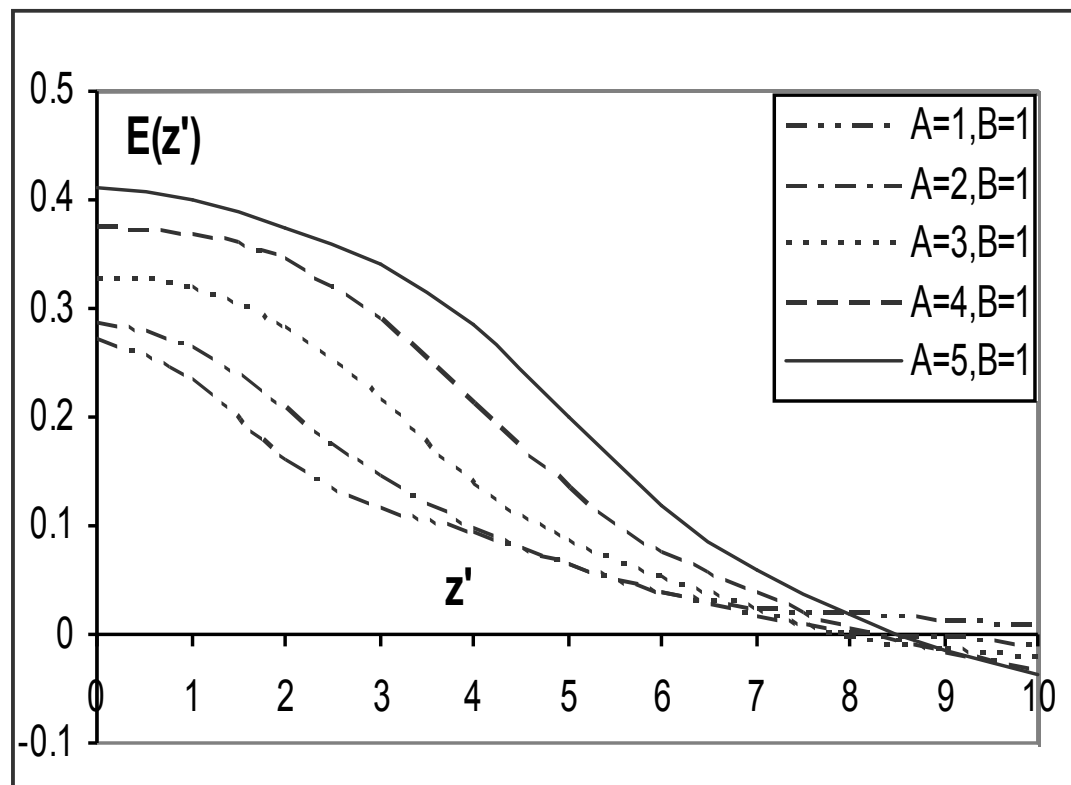
أما الشكلين (6,5) فيوضحان العمق البؤري للنظام البصري الذي يظهر عدم تعبير العمق البؤري بصورة كبيرة مع تعبير تلطخ الشكل البيضاوي.

المصادر

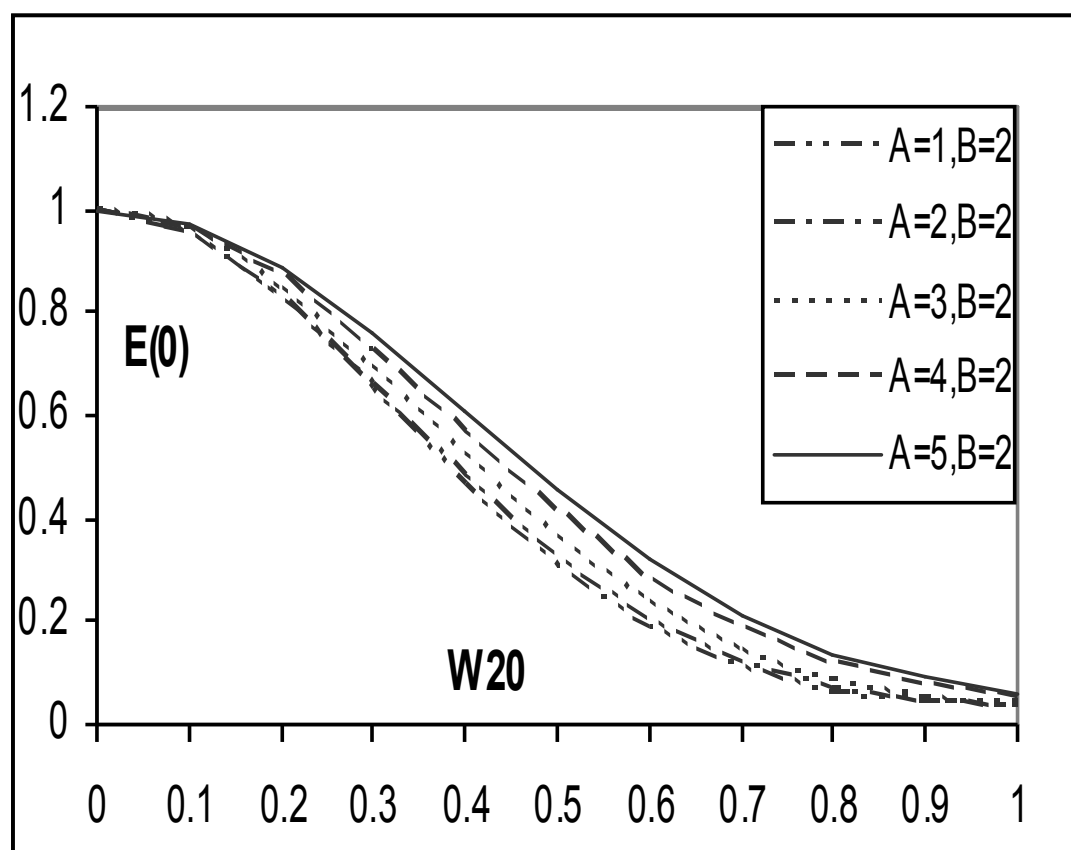
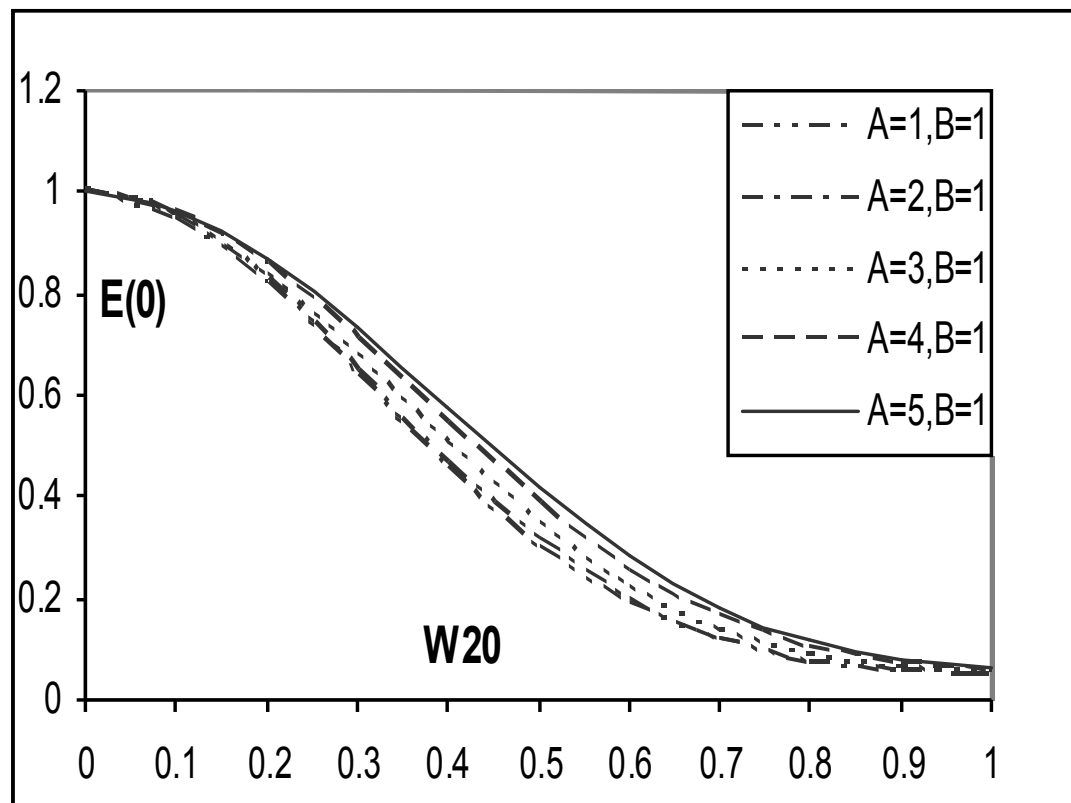
1. Gerald, Patrick, O.(1989).Applied Numerical Analysis,4th-Edition,(Addison-Wesley publishing company).
2. Al-Jizany, A. B. (2001). (Studying and evaluation of image intensity and aberrations effectiveness for triangle object). Msc. Thesis (Baghdad University).
3. Karam, G. S. (2001). (Calculating of total illuminance in image of point object). Ph.D. Thesis (Mustansirya University).
4. Ahmed, Q. K. and Amin, H. M. (1989).Journal of modern optics. 36(2): 271-277.
5. Al-Qazzaz, H. H. (1998). (Studying of line spread function in circular aperture). Msc. Thesis (Baghdad University).
6. Hecht, E. (2000). Optics, 1st-Edition, 288-294.



الشكلان (1,2) يوضحان توزيع الشدة المعيّرة في مستوى الصورة (للنظام الثنائي) لدالة انتشار التشكّل البيضاوي نقّيم مختلفة من (A,B) .



الشكلان (4,3) يوضحان توزيع النسبة المعيّرة في مستوى الصورة لنظام بصري يحتوي على الخطأ البؤري ($\lambda_{W20}=0.5\lambda$) لدالة انتشار الشكل البيضاوي لقيم مختلفة من (A, B) .



الشكلان (6,5) يوضحان العمق النبوري للنسبة المركبة المعتبرة لدالة انتشار الشكل البيضاوي لنقيم مختلفة من عامل الخطأ النبوري (W20).

Studying Of Image Intensity Distribution Of Elliptical Object (Elliptical Spread Function)

A. B. Hasan Al-Jizany

**Department of Physics, College of Education Ibn Al- Haitham
University of Baghdad**

Abstract

In this work, a new formula of intensity distribution in image plane of elliptical object was founded (Elliptical spread function), by using optical system including circular aperture. The Gauss quadrature method of numerical integral was used for calculating equation's integrals. Curves are shown for system having focal error and intensity distribution in focal axis.